

**Zeitschrift:** IABSE reports of the working commissions = Rapports des commissions de travail AIPC = IVBH Berichte der Arbeitskommissionen

**Band:** 16 (1974)

**Artikel:** Einfache Methode zur Berechnung der Bruchlast von schlanken Druckgliedern

**Autor:** Menn, C.

**DOI:** <https://doi.org/10.5169/seals-15727>

#### Nutzungsbedingungen

Die ETH-Bibliothek ist die Anbieterin der digitalisierten Zeitschriften auf E-Periodica. Sie besitzt keine Urheberrechte an den Zeitschriften und ist nicht verantwortlich für deren Inhalte. Die Rechte liegen in der Regel bei den Herausgebern beziehungsweise den externen Rechteinhabern. Das Veröffentlichen von Bildern in Print- und Online-Publikationen sowie auf Social Media-Kanälen oder Webseiten ist nur mit vorheriger Genehmigung der Rechteinhaber erlaubt. [Mehr erfahren](#)

#### Conditions d'utilisation

L'ETH Library est le fournisseur des revues numérisées. Elle ne détient aucun droit d'auteur sur les revues et n'est pas responsable de leur contenu. En règle générale, les droits sont détenus par les éditeurs ou les détenteurs de droits externes. La reproduction d'images dans des publications imprimées ou en ligne ainsi que sur des canaux de médias sociaux ou des sites web n'est autorisée qu'avec l'accord préalable des détenteurs des droits. [En savoir plus](#)

#### Terms of use

The ETH Library is the provider of the digitised journals. It does not own any copyrights to the journals and is not responsible for their content. The rights usually lie with the publishers or the external rights holders. Publishing images in print and online publications, as well as on social media channels or websites, is only permitted with the prior consent of the rights holders. [Find out more](#)

**Download PDF:** 26.01.2026

**ETH-Bibliothek Zürich, E-Periodica, <https://www.e-periodica.ch>**

## II

### Einfache Methode zur Berechnung der Bruchlast von schlanken Druckgliedern

Simple Method for Determining the Ultimate Load of Slender Compression Members

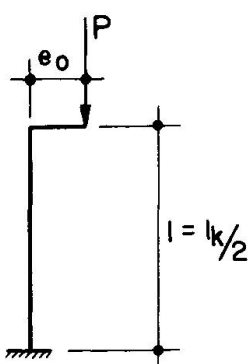
Méthode simple pour le calcul de la charge ultime de pièces élancées comprimées

C. MENN  
Prof. Dr.  
ETH Zürich  
Zürich, Schweiz

#### 1. Einleitung

Die Bemessung schlanker Druckglieder mit einer Vorschrift über zulässige Spannungen ist deshalb besonders problematisch, weil zu Folge des Spannungsproblems zweiter Ordnung eine zuverlässige Beurteilung der effektiven Sicherheit kaum möglich ist. Die Kommission des SIA für die SIA-Norm Nr. 162 (Norm für die Berechnung, Konstruktion und Ausführung von Bauwerken aus Beton, Stahlbeton und Spannbeton) hat deshalb einer Arbeitsgruppe den Auftrag erteilt, eine einfache, klare Richtlinie für die Bemessung schlanker Druckglieder nach dem Traglastverfahren auszuarbeiten. Nach eingehender Prüfung der bekannten Berechnungsverfahren und umfangreicher Vergleiche und Untersuchungen hat diese Arbeitsgruppe beschlossen, als Grundlage ein neues Berechnungsverfahren anzuwenden, das am Institut für Baustatik und Konstruktion an der ETH Zürich entwickelt wurde. Dieses Verfahren wird im Folgenden kurz dargestellt.

#### 2. Bruchlast schlanker Druckglieder



Die Schwierigkeit der Traglastberechnung für eine einfache Stütze gemäss Fig. 1 besteht vor allem darin, dass bei der Laststeigerung die Querschnittssteifigkeit auf der ganzen Stützenhöhe ständig ändert; d.h. jedem Schnittkraftpaar  $N$  und  $M$  entspricht eine bestimmte Steifigkeit  $EI$ . Diese spezifische Steifigkeit lässt sich im Prinzip aus den Arbeitslinien für Stahl (Fig. 2) und Beton (Fig. 3) berechnen.

Fig. 1

Sie beträgt unter Berücksichtigung von

$$y'' = - \frac{M}{EI}$$

( $y$  = Stützenausbiegung)

$$\text{und } y'' = \frac{1}{\rho}$$

( $\rho$  = Krümmungsradius)

$$EJ = | M \cdot \rho |$$

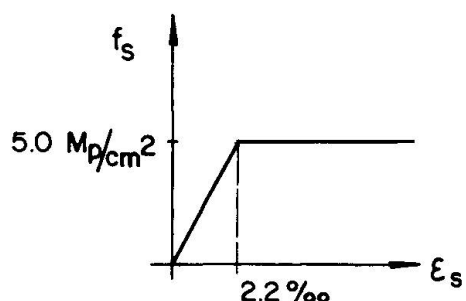


Fig. 2

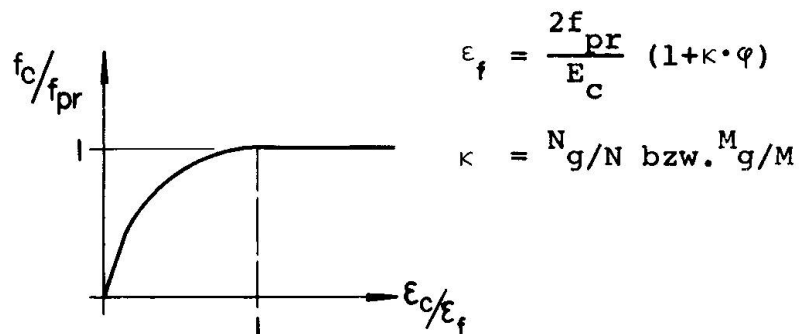


Fig. 3

In Fig. 4 ist das Verhältnis  $EI/E_c I_c$  als Funktion der Schnittkräfte  $N$  und  $M$  für den Querschnitt der Fig. 5 unter Vernachlässigung der Mitwirkung des Betons in der Zugzone aufgetragen.

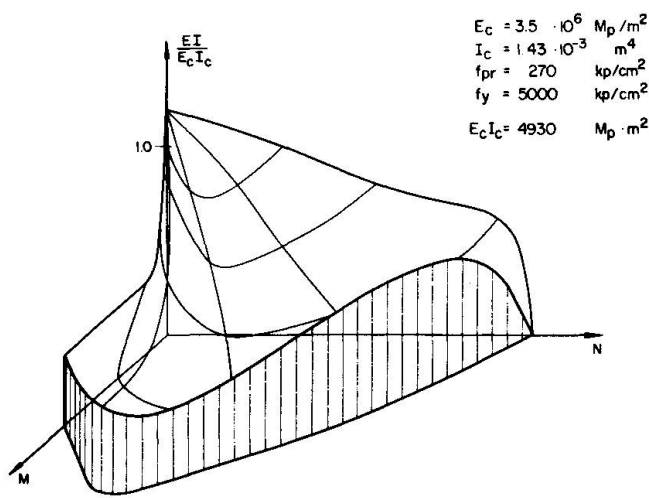


Fig. 4 Steifigkeit - Schnittkräfte ( $N, M$ )

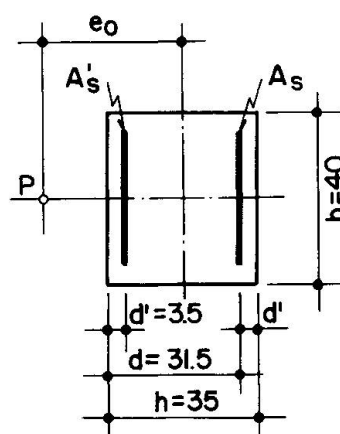


Fig. 5 Querschnitt  $A_c = 35 \times 40 \text{ cm}^2$

$$A_s = A'_s = 12 \text{ cm}^2$$

Diese relativ komplizierten Verhältnisse lassen sich zwar mit einem Computer-Programm beliebig genau berücksichtigen, eine praktische Berechnung auf dieser Grundlage ist jedoch unverhältnismässig aufwendig. Ein unterer Grenzwert der Traglast lässt sich allenfalls damit bestimmen, dass während der ganzen Laststeigerung (von  $P = 0$  bis  $P = P_{\text{Bruch}}$ ) und auf der ganzen Stützenhöhe mit der Steifigkeit unmittelbar vor dem Erreichen der Bruchlast gerechnet wird. Die Schnittkräfte bei einer Stütze gemäss Fig. 1 sind dabei

$$N = P \quad M = P \cdot e_0 \frac{1}{1 - \frac{P}{P_E}} \quad (P_E = \frac{\pi^2 EI}{l_k^2})$$

Dieses Verfahren ist aber deshalb kompliziert, weil nur eine Iteration zum Ziel führt, oder weil zum mindesten nachgewiesen werden muss, dass die der Berechnung zugrunde gelegte Steifigkeit kleiner ist als die den Bruchschnittkräften  $N_u$  und  $M_u$  entsprechende Steifigkeit.

### 3. Moment-Krümmungsdiagramm

Aus einem Moment-Krümmungsdiagramm ( $h/\rho$  = bezogene Krümmung), in Fig. 6 für den Querschnitt der Fig. 5 dargestellt, lässt sich die Steifigkeit für bestimmte Kombinationen von  $N$  und  $M$  ebenfalls herauslesen; sie ist mit

$$EI = M \cdot \rho = \frac{1}{h} \cdot \alpha$$

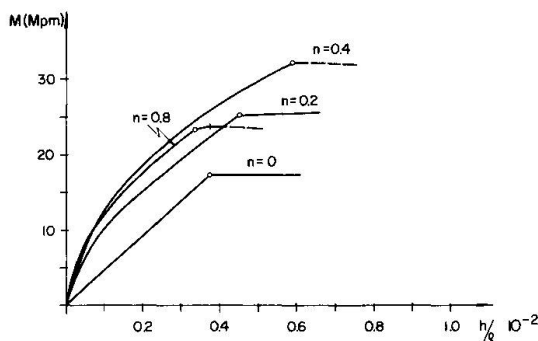


Fig.6 Moment - Krümmung;  $A_s = A'_s = 12 \text{ cm}^2$  ( $p_t = 1.71\%$ )

$$\text{Kurvenparameter: } n = \frac{N}{bhf_{pr}}$$

Dabei ist  $\alpha$  die Neigung der Verbindungsgeraden vom Ursprung ( $M = h/\rho = 0$ ) zu einem beliebigen Punkt  $(N, M)$ .  $N = nbhf_{pr}$ . Die  $M-h/\rho$ -Linien weisen einen deutlichen Knick auf, wenn bei einer bestimmten Normalkraft das Moment Stahlfließen erzeugt. Diese Knickpunkte sind identisch mit dem Bruchwiderstand des Querschnitts, der bei einem schlanken Druckglied mit dem Stahlfließen auf der Zug- oder Druckseite praktisch erreicht wird. Der effektive

Querschnittswiderstand ist zwar etwas grösser; es ist aber nicht zweckmässig dies zu berücksichtigen, da nach dem Fliessen des Stahls die Querschnittssteifigkeit rasch absinkt und die Momente zweiter Ordnung um so schneller zunehmen. Nach dem Fliessen des Stahls ist somit die mögliche Laststeigerung bis zum Erreichen des effektiven Bruchwiderstandes sehr klein.

#### 4. Vereinfachung des $M - \frac{h}{\rho}$ - Diagramms

Im Hinblick auf eine einfache, zuverlässige Traglastberechnung werden die beiden folgenden Vereinfachungen gemacht:

- Die Neigung  $\alpha$  bzw. die Steifigkeit  $EI$  bleibt von  $M = 0$  bis zum Knickpunkt  $M = M_u$  konstant; dies entspricht einem geradlinigen Verlauf der  $M - \frac{h}{\rho}$  - Linie und bedeutet, dass bei konstantem Querschnitt auf der ganzen Stablänge mit der gleichen Steifigkeit gerechnet werden darf.
- Für jede Grösse der Normalkraft wird die Steifigkeit aus der  $M - \frac{h}{\rho}$  - Linie für  $N = N_F$  bestimmt.  $N_F$  ist dabei diejenige Normalkraft, die sich ergibt, wenn Zug- und Druckarmierung gleichzeitig fliessen. Dies bedeutet - zusammen mit der ersten Annahme -, dass die Vergrösserung der Anfangsexzentrizität  $e_o$  folgendermassen gerechnet werden darf:

$$e = e_o \frac{1}{1 - \frac{P}{P_E}} \quad P_E = \frac{\pi^2 EI_F}{l_k^2}$$

wobei  $EI_F$  die  $N_F$  entsprechende Steifigkeit ist; d.h. die Steifigkeit, bei der Zug- und Druckarmierung gleichzeitig fliessen.  $EI_F = M_F \cdot \rho_F$  lässt sich besonders einfach bestimmen. Gemäss Fig. 7 gilt z.B. für einen Rechteckquerschnitt

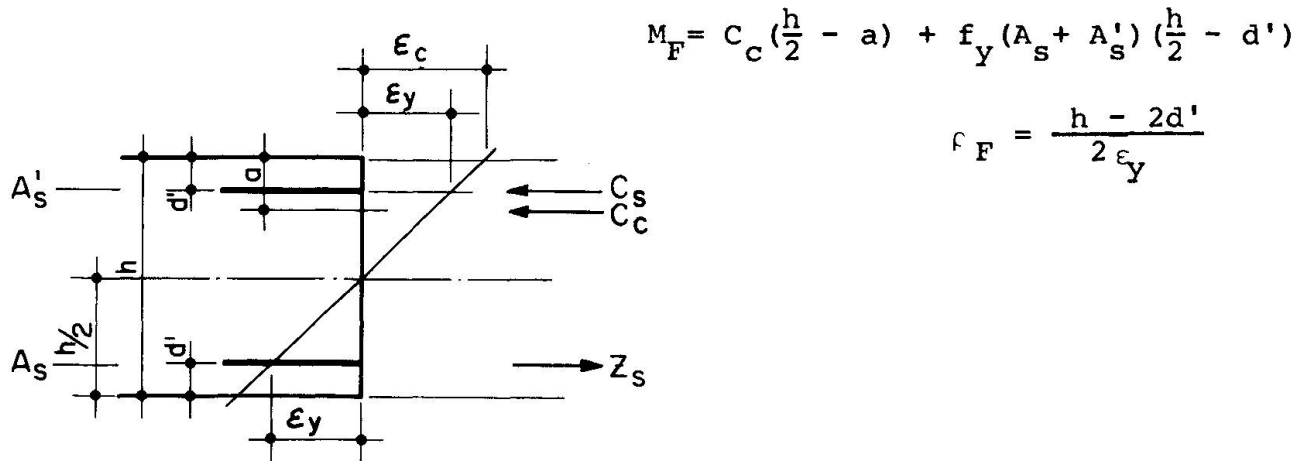


Fig. 7

Während die erstgenannte Vereinfachung bedeutet, dass während der ganzen Laststeigerung bis zum Bruch immer mit der gleichen Steifigkeit gerechnet werden darf, ist die zweite Vereinfachung aus folgenden Erwägungen sinnvoll:

- Bei kleiner Anfangsexzentrizität  $e_o$  und kleiner Schlankheit ist  $N_u > N_F$ ; die effektive Steifigkeit ist dann grösser als  $EI_F$ ; d.h. die berechnete Bruchlast ist auf der sicheren Seite. Erst bei sehr grosser Normalkraft nimmt  $EI$  wieder ab. Dann ist aber die Schlankheit so klein, dass nicht nach der Theorie zweiter Ordnung gerechnet werden muss.
- Bei grosser Anfangsexzentrizität und kleiner Schlankheit ist die Bruchlast unter Umständen kleiner als  $N_F$ .  $EI$  ist aber infolge starker Bewehrung (grosses Momente) nur unwesentlich kleiner als  $EI_F$ ; zudem spielt in diesem Falle  $EI$  keine wesentliche Rolle; der Einfluss der Verformung zweiter Ordnung ist gering.
- Bei kleiner Anfangsexzentrizität und grosser Schlankheit ist die Bruchlast unter Umständen ebenfalls kleiner als  $N_F$ ; wegen der starken Minimalbewehrung bei grosser Schlankheit ist aber  $EI_F \sim EI_{N=0} = EI_{\min}$ .
- Bei grosser Anfangsexzentrizität und grosser Schlankheit ist die Bruchlast ebenfalls kleiner als  $N_F$ ; auch in diesem Fall ist aber eine starke Bewehrung erforderlich, so dass  $EI_F \sim EI_{N=0} = EI_{\min}$  gilt.

### 5. Berechnungsgang

Für eine Stütze gemäss Fig. 1 mit gegebenen Querschnittswerten und Materialeigenschaften wird zunächst das N-M-Interaktionsdiagramm des Querschnittswiderstandes bestimmt, wobei immer das Fließen des Stahls auf der Zug- oder auf der Druckseite massgebend ist. Die Berechnung der Steifigkeit  $EI_F = M_F \rho_F$  erfolgt nach Abschnitt 4 für  $\rho_F = \frac{h-2d}{2\epsilon_y}$  (kleinster Krümmungsradius). Damit folgt für die

Ausbiegung nach der Theorie zweiter Ordnung:

$$e = e_o \frac{1}{1 - \frac{P}{P_E}} \quad P_E = \frac{\pi^2 EI_F}{l_k^2}$$

mit den massgebenden Schnittkräften

$$N = P \quad \text{und} \quad M = P \cdot e$$

Die Traglast ist erreicht, wenn die Last-Momenten-Linie das N-M-Interaktionsdiagramm schneidet.

Bei zentrischer Belastung muss immer eine Anfangsexzentrizität  $e_{\min} \approx \frac{h}{30}$  angenommen werden.

Bei kleinen Anfangsexzentrizitäten  $e_0 \approx \frac{h}{5}$  ist es zur Erzielung einer besseren Genauigkeit zweckmäßig, ein  $M/\rho$ -Diagramm gemäß Fig.8 anzunehmen. Mit steigendem Moment sinkt dabei die Steifigkeit linear auf den Wert  $EI_F$  ab.

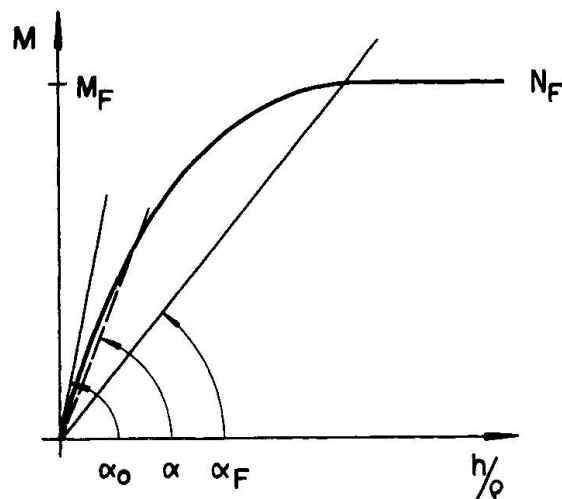


Fig.8

$$EI = M \cdot \rho = h \cdot \operatorname{tg} \alpha$$

$$EI = h [\operatorname{tg} \alpha_0 - \frac{M}{M_F} (\operatorname{tg} \alpha_0 - \operatorname{tg} \alpha_F)]$$

$$\text{Mit } \operatorname{tg} \alpha_0 = \frac{1}{h} EI_0$$

$$\text{und } \operatorname{tg} \alpha_F = \frac{1}{h} EI_F \text{ wird}$$

$$EI = EI_0 - \frac{M}{M_F} (EI_0 - EI_F)$$

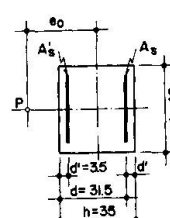
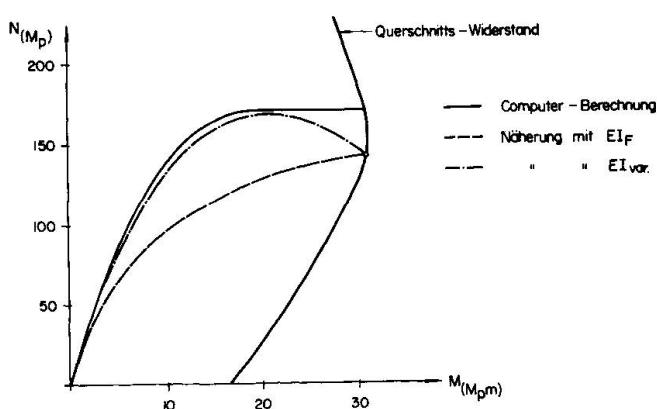
$$(EI_0 = E_c I_c + E_s I_s)$$

In diesem Falle gilt

$$e = e_0 \frac{1}{1 - \frac{P}{P_E}} \quad \text{mit } P_E = \frac{\pi^2 EI}{i_k^2}$$

natürlich nur solange, als  $M = P \cdot e$  kleiner ist als das für die Berechnung von  $EI$  angenommene Moment  $M$ .

Fig.9 zeigt einen Vergleich zwischen der Computer-Rechnung und der vorgeschlagenen Näherungsberechnung für eine Stütze gemäß Fig.1 mit folgenden Abmessungen und Materialwerten:



$$f_{pr} = 270 \text{ kg/cm}^2$$

$$f_y = 5000 \text{ kg/cm}^2$$

Fig.9 Last-Momenten-Kurve  $\frac{l_k}{h} = 28,6$ 

$$P_t = 1.71\% \quad (A_s = A'_s = 12 \text{ cm}^2) \quad \frac{e_0}{h} = 0.143$$

## 6. Traglasten der Standardstütze, die dem Fragebogen zum Vergleich verschiedener Normen zugrunde gelegt wurde

Die Fig. 10 - 12 zeigen einen Vergleich der Traglasten, die einerseits mit dem Computer und anderseits mit dem vorgeschlagenen Näherungsverfahren berechnet wurden. Dabei handelt es sich um jenen Stützentyp, der dem Fragebogen zum Vergleich verschiedener Normen zugrunde gelegt wurde\*. In der Fig. 13 ist die Streuung aller für diesen Stützentyp berechneten Fälle dargestellt.

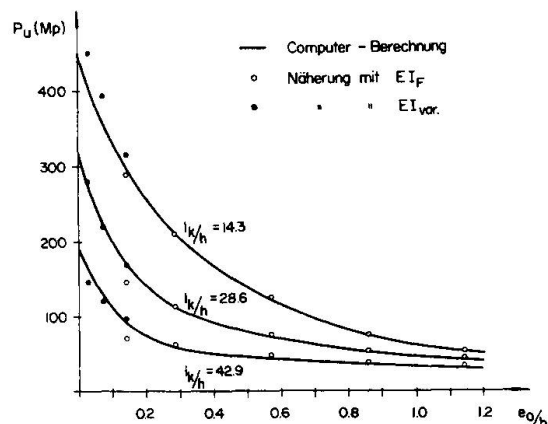


Fig.10 Traglast-Exzentrizität  
 $A_s = A'_s = 12 \text{ cm}^2$  ( $p_t = 1.71\%$ )  
 Kurvenparameter:  
 Schlankeit  $l_k/h$

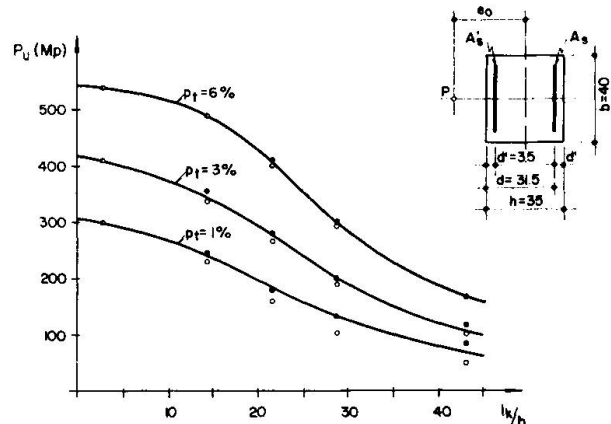


Fig.11 Traglast-Schlankheit  
 Exzentrizität  $e_0 = \frac{h}{6} = 5.8 \text{ cm}$   
 Kurvenparameter:  
 Bewehrung  $p_t$  ( $A_s = A'_s$ )

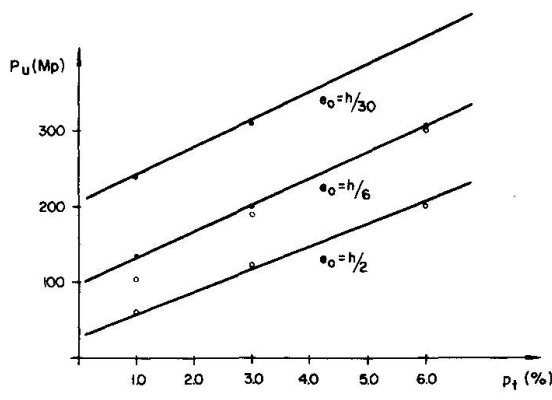


Fig.12 Traglast-Bewehrung  
 Schlankeit  $l_k/h = 28.6$   
 Kurvenparameter:  
 Exzentrizität  $e_0$

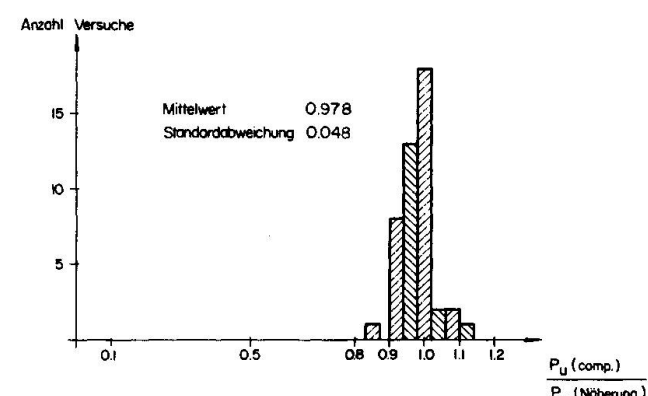


Fig.13 Vergleich der  
 exakten Lösung ( $P_u \text{ comp}$ )  
 mit der  
 Näherungslösung ( $P_u \text{ Näherung}$ )

\*vergl. Vorbericht Québec 1974  
 "Stützen aus Stahlbeton, Vergleich verschiedener Normen"

Bezeichnungen

|              |   |              |   |
|--------------|---|--------------|---|
| $A_s$        | = Fläche der Zugarmierung                                   | $E_c$        | = Elastizitätsmodul des Betons                    |
| $A'_s$       | = Fläche der Druckarmierung                                 | $J_c$        | = Trägheitsmoment des homogenen Betonquerschnitts |
| $E_s$        | = Elastizitätsmodul des Stahls<br>= 2100 MP/cm <sup>2</sup> | $f_c$        | = Betonspannungen                                 |
| $J_s$        | = Trägheitsmoment des Stahlquerschnitts                     | $f_{pr}$     | = Prismenfestigkeit des Betons                    |
| $f_s$        | = Stahlspannung   | $\epsilon_c$ | = Betonstauchung                                  |
| $f_y$        | = Fliess-Spannung des Stahls                                | $\epsilon_u$ | = maximale Betonstauchung<br>= 0.003              |
| $\epsilon_s$ | = Stahldehnung  | $\varphi$    | = Kriechzahl                                      |
| $\epsilon_y$ | = Fliess-Dehnung des Stahls                                 | $N_g, M_g$   | = Beanspruchung infolge Dauerlasten               |
| $A_c$        | = Betonfläche   | $p_t$        | = Armierungsgehalt<br>(Stahlfläche/Betonfläche)   |

$$EI_F = M_F \cdot \rho_F$$

144

**ZUSAMMENFASSUNG**

Das vorgeschlagene Verfahren für eine einfache Berechnung der Traglast von Stützen beruht darauf, dass die Ausbiegung zweiter Ordnung mit einer konstanten, ideellen Steifigkeit berechnet wird. Diese Steifigkeit wird am gerissenen Querschnitt bestimmt, wobei angenommen wird, dass die Bewehrung auf der Zug- und Druckseite gleichzeitig fliest.

**SUMMARY**

The proposed method for a simple calculation of the ultimate load of columns is based on calculating the 2nd-order deflection with a constant virtual stiffness. This stiffness is determined from the fractured cross-section, assuming that the reinforcement on the tension and compression sides flows simultaneously.

**RESUME**

On propose, pour le calcul de la charge ultime des colonnes, un procédé basé sur un calcul de déformation du second ordre avec une rigidité fictive constante. Cette rigidité est déterminée pour la section fissurée en admettant que les armatures dans les zones tendues et comprimées travaillent à la limite apparente d'élasticité.